

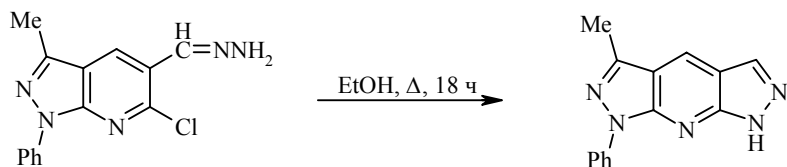
М. В. Вовк, Н. В. Мельниченко, В. А. Сукач, Н. Г. Чубарук

СИНТЕЗ  
6-АРИЛ-1,6-ДИГИДРОДИПИРАЗОЛО[3,4-*b*:4,3-*e*]ПИРИДИНОВ

6-Азидо-1Н-пиразоло[3,4-*b*]пиридино-5-карбальдегиды реагируют с ароматическими аминами с образованием соответствующих N-арилиминов, которые при нагревании в кипящем толуоле циклизуются в 6-арил-1,6-дигидродипиразоло[3,4-*b*:4,3-*e*]пиридины.

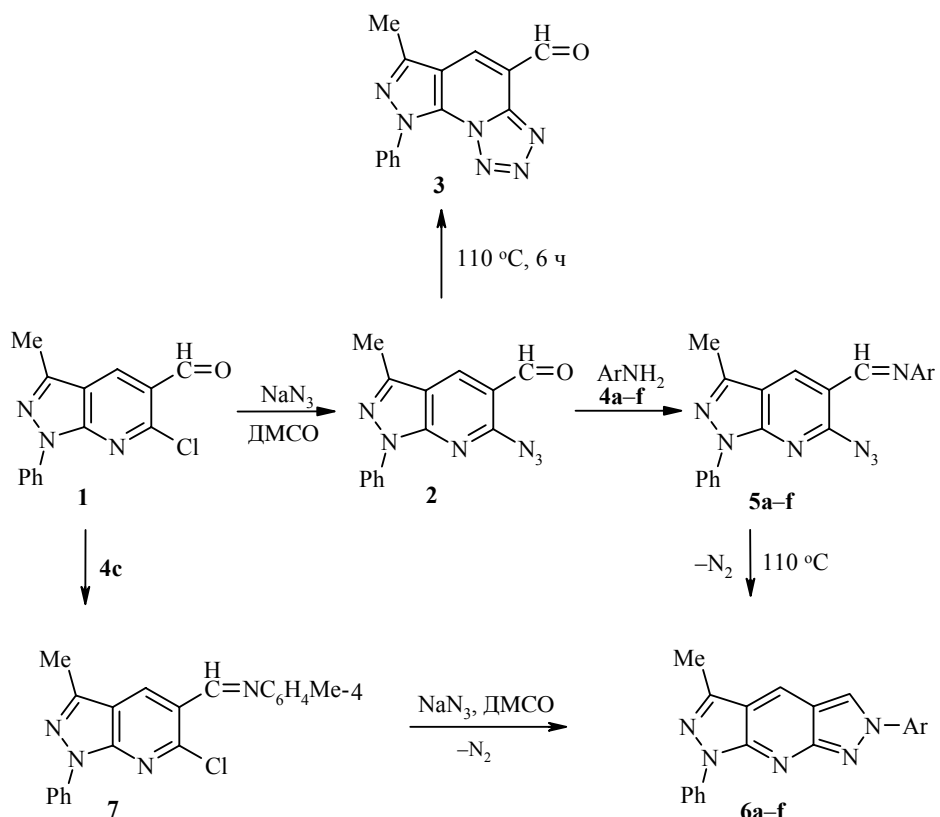
**Ключевые слова:** N-арил-6-азидо-1Н-пиразоло[3,4-*b*]пиридин-5-карбальдимины, 6-арил-1,6-дигидродипиразоло[3,4-*b*:4,3-*e*]пиридины, термолиз.

Дипиразоло[3,4-*b*:4,3-*e*]пиридины являются примерами конденсированных гетероциклических соединений со значительной фармакологической активностью, например, бактерицидной [1], седативной [2], антиастматической [3]. Кроме этого, среди них найдены вещества, обладающие выраженным электролюминесцентными свойствами [4, 5]. Описанные циклизации 2,6-дихлор-3,5-дiformилпиридина с гидразинами [6], 5-аминопиразолов с карбонильными соединениями [7–10], пиразолин-5-онов с альдегидами и ариламинами [11] позволяют синтезировать только 1,7-дизамещенные дипиразоло[3,4-*b*:4,3-*e*]пиридины. Внутримолекулярная циклоконденсация гидразона 6-хлорпиразоло[3,4-*b*]пиридин-5-карбальдегида была использована для получения 3-метил-1-фенил-1,7-дигидродипиразоло[3,4-*b*:4,3-*e*]пиридина [12].



Данные о 1,6-дигидроаналогах указанной гетероциклической системы в литературе отсутствуют. По этой причине в настоящем сообщении нами рассмотрен препартивно удобный подход к их синтезу.

В качестве исходного соединения для синтеза целевых объектов был предложен 3-метил-1-фенил-6-хлор-1Н-пиразоло[3,4-*b*]пиридин-5-карбальдегид (**1**), полученный по реакции Вильсмайера–Хаака из 5-ацетиламино-3-метил-1-фенилпиразола [12]. Соединение **1**, подобно 5-хлорпиразол-4-карбальдегидам [13–15], при действии NaN<sub>3</sub> в ДМСО в присутствии катализатора межфазного переноса Bu<sub>4</sub>N<sup>+</sup>I<sup>-</sup> было превращено с выходом 85% в 6-азидопиразоло[3,4-*b*]пиридин-5-карбальдегид **2**.



**4–6 a** Ar = Ph, **b** Ar = 4-ClC<sub>6</sub>H<sub>4</sub>, **c** Ar = 4-MeC<sub>6</sub>H<sub>4</sub>, **d** Ar = 3-MeOC<sub>6</sub>H<sub>4</sub>,  
**e** Ar = 4-MeOC<sub>6</sub>H<sub>4</sub>, **f** Ar = 3,4-Me<sub>2</sub>C<sub>6</sub>H<sub>3</sub>

Исследование термических свойств последнего показало, что в отличие от ближайшего аналога – 2-азидо-7-метилхинолин-3-карбальдегида, который превращается в соответствующий тетразолохинолин уже при 40 °C [16], он является достаточно стабильным и подвергается циклизации в пиразоло[3,4-*e*][1,2,3,4]тетразоло[1,5-*a*]пиридин **3** только при 6 ч кипячении в толуоле. Поэтому предполагалось, что при проведении конденсации азидоальдегида **2** с ариламинами в более мягких условиях в продуктах реакции азидогруппа будет сохраняться. Действительно, нагревание соединения **2** с ариламинами **4a–f** в кипящем этаноле в течение 4–5 ч приводит к N-арилиминам **5a–f**, из которых были выделены в аналитически чистом виде и охарактеризованы соединения **5c,f**.

По данным работы [17], при термолизе *o*-азидобензилиденаминов с высоким выходом получаются 2-замещенные индазолы. С учетом этого факта представлялось целесообразным использовать термическое разложение азидоиминов **5a–f** для пиразолоаннелирования пиридинового цикла. Найдено, что при кипячении соединений **5a–f** в толуоле в течение 5–6 ч с высокими выходами образуются 6-арил-1,6-дигидриптазоло-[3,4-*b*:4,3-*e*]пиридины **6a–f**.

Таблица 1

## Характеристики синтезированных соединений

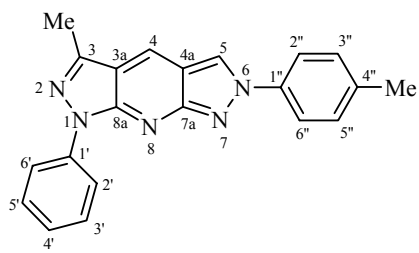
Соединение	Брутто-формула	Найдено, %			Т. пл., °C (растворитель)	[M] <sup>+</sup> , <i>m/z</i>	Выход, %
		C	H	N			
<b>2</b>	C <sub>14</sub> H <sub>10</sub> N <sub>6</sub> O	60.70 60.42	3.54 3.62	30.05 30.20	174–175 (CH <sub>3</sub> CN)		85
<b>3</b>	C <sub>14</sub> H <sub>10</sub> N <sub>6</sub> O	60.69 60.42	3.54 3.62	29.62 30.20	245–246 (CH <sub>3</sub> CN)		76
<b>5c</b>	C <sub>21</sub> H <sub>17</sub> N <sub>7</sub>	68.71 68.65	4.72 4.66	26.33 26.69	151–154 (EtOH–H <sub>2</sub> O)		78
<b>5f</b>	C <sub>22</sub> H <sub>19</sub> N <sub>7</sub>	68.94 69.27	5.18 5.02	25.91 25.71	161–163 (CH <sub>3</sub> CN)		74
<b>6a</b>	C <sub>20</sub> H <sub>15</sub> N <sub>5</sub>	74.08 73.83	4.72 4.65	21.39 21.52	94–196 (CH <sub>3</sub> CN)	325	73
<b>6b</b>	C <sub>20</sub> H <sub>14</sub> ClN <sub>5</sub>	66.99 66.76	4.11 3.92	19.03 19.46	242–243 (CH <sub>3</sub> CN)	360	66
<b>6c</b>	C <sub>21</sub> H <sub>17</sub> N <sub>5</sub>	74.70 74.31	5.18 5.04	20.27 20.63	223–224 (CH <sub>3</sub> CN)	339	74
<b>6d</b>	C <sub>21</sub> H <sub>17</sub> N <sub>5</sub> O	71.34 70.97	4.91 4.82	20.05 19.71	175–176 (CH <sub>3</sub> CN)	355	65
<b>6e</b>	C <sub>21</sub> H <sub>17</sub> N <sub>5</sub> O	70.72 70.97	4.89 4.82	19.56 19.71	227–229 (CH <sub>3</sub> CN–диоксан)	355	72
<b>6f</b>	C <sub>22</sub> H <sub>19</sub> N <sub>5</sub>	74.46 74.76	5.43 5.42	20.03 19.82	230–231 (CH <sub>3</sub> CN)	353	68
<b>7</b>	C <sub>21</sub> H <sub>17</sub> ClN <sub>4</sub>	70.93 70.71	4.48 4.62	15.30 15.11	200–201 (CH <sub>3</sub> CN)		67

Отметим, что с целью препаративного упрощения процесса соединения **5a–f** не подвергались дополнительной очистке и после удаления этанола использовались для термолиза.

Нами также была исследована возможность синтеза соединений типа **6** по схеме первоначального преобразования альдегидной группы в азометиновую с последующим замещением хлора на азидогруппу. С этой целью реакцией хлоральдегида **1** с *n*-толуидином был получен имин **7**, превращенный в дипиразолопиридин **6a** при нагревании в течение 20 ч с азидом натрия в ДМСО при 70–72 °C. Однако выход соединения **6a** при этом уменьшается на 19% по сравнению с первым вариантом реакции. Такое замедление процесса, по-видимому, вызвано как пониженнной подвижностью атома хлора, обусловленной меньшей акцепторностью иминогруппы, так и требуемым более низким температурным режимом.

Синтезированные соединения **6a–f** (табл. 1) – высокоплавкие желтые кристаллические вещества, флуоресцирующие светло-желтой окраской в смеси растворителей ДМСО–CCl<sub>4</sub>, 2:1. Их строение согласуется с данными ЯМР <sup>1</sup>H и масс-спектров (табл. 2). Характерным для масс-спектров является наличие пиков молекулярных ионов с *I*<sub>max</sub> 100% для всех соединений.

Структура соединений **6** также подтверждается данными спектра ЯМР <sup>13</sup>C соединения **6c**:



$\delta$ , м. д.: 12.33 ( $\text{CH}_3$ -3), 20.49 ( $\text{CH}_3$ -4"), 112.77 (C-3a), 117.60 (C-4a), 118.84 (C-2', 6'), 120.19 (C-2", 6"), 124.25 (C-4), 125.90 (C-5), 126.12 (C-4'), 128.92 (C-3", 5"), 130.07 (C-3', 5'), 137.40 (C-1'), 138.17 (C-1"), 139.61 (C-4"), 144.68 (C-3), 152.06 (C-8a), 157.78 (C-7a)

Т а б л и ц а 2

**Спектры ЯМР  $^1\text{H}$  синтезированных соединений**

Соединение	Химические сдвиги, $\delta$ , м. д. (KCCB, $J$ , Гц)
<b>2</b>	2.60 (3H, с, $\text{CH}_3$ -3); 7.32 (1H, т, $J$ = 7.6, H-4'); 7.52 (2H, т, $J$ = 7.8, H-3', 5'); 8.18 (2H, д, $J$ = 8.1, H-2', 6'); 8.65 (1H, с, H-4); 10.17 (1H, с, $\text{CH}=\text{O}$ )
<b>3</b>	2.62 (3H, с, $\text{CH}_3$ -3); 7.26 (1H, т, $J$ = 7.9, H-4'); 7.53 (2H, т, $J$ = 8.1, H-3', 5'); 8.31 (2H, д, $J$ = 8.2, H-2', 6'); 8.94 (1H, с, H-4); 10.12 (1H, с, $\text{CH}=\text{O}$ )
<b>5c</b>	2.36 (3H, с, $\text{CH}_3$ -4"); 2.58 (3H, с, $\text{CH}_3$ -3); 7.14–7.32 (5H, м, $\text{H}_{\text{Ar}}$ ); 7.50 (2H, т, $J$ = 7.8, H-3', 5'); 8.21 (2H, д, $J$ = 7.8, H-2', 6'); 8.62 (1H, с, 5- $\text{CH}=\text{}$ ); 8.78 (1H, с, H-4)
<b>5f</b>	2.26 (3H, с, $\text{CH}_3$ -4"); 2.28 (3H, с, $\text{CH}_3$ -3"); 2.59 (3H, с, $\text{CH}_3$ -3); 6.94–7.30 (3H, м, $\text{H}_{\text{Ar}}$ ); 7.50 (2H, т, $J$ = 7.8, H-3', 5'); 8.21 (2H, д, $J$ = 7.5, H-2', 6'); 8.62 (1H, с, 5- $\text{CH}=\text{}$ ); 8.77 (1H, с, H-4)
<b>6a</b>	2.64 (3H, с, $\text{CH}_3$ -3); 7.22 (1H, т, $J$ = 7.8, H-4'); 7.46–7.62 (5H, м, $\text{H}_{\text{Ar}}$ ); 8.18 (2H, д, $J$ = 7.8, H-2", 6"); 8.45 (2H, д, $J$ = 8.1, H-2', 6'); 8.80 (1H, с, H-4); 9.37 (1H, с, H-5)
<b>6b</b>	2.63 (3H, с, $\text{CH}_3$ -3); 7.22 (1H, т, $J$ = 7.6, H-4'); 7.52 (2H, т, $J$ = 7.8, H-3', 5'); 7.62 (2H, д, $J$ = 8.7, H-3", 5"); 8.20 (2H, д, $J$ = 8.7, H-2", 6"); 8.44 (2H, д, $J$ = 7.8, H-2', 6'); 8.76 (1H, с, H-4); 9.36 (1H, с, H-5)
<b>6c</b>	2.47 (3H, с, $\text{CH}_3$ -4"); 2.65 (3H, с, $\text{CH}_3$ -3); 7.21 (1H, т, $J$ = 7.5, H-4'); 7.39 (2H, д, $J$ = 8.7, H-3", 5"); 7.53 (2H, т, $J$ = 7.8, H-3', 5'); 8.05 (2H, д, $J$ = 8.7, H-2", 6"); 8.46 (2H, д, $J$ = 8.1, H-2', 6'); 8.80 (1H, с, H-4); 9.31 (1H, с, H-5)
<b>6d</b>	2.64 (3H, с, $\text{CH}_3$ -3); 3.92 (3H, с, $\text{OCH}_3$ -3"); 7.01 (2H, д, $J$ = 8.1, H-4"); 7.22 (1H, т, $J$ = 7.6, H-4'); 7.51–7.75 (5H, м, $\text{H}_{\text{Ar}}$ ); 8.47 (2H, д, $J$ = 7.8, H-2', 6'); 8.78 (1H, с, H-4); 9.38 (1H, с, H-5)
<b>6e</b>	2.65 (3H, с, $\text{CH}_3$ -3); 3.87 (3H, с, $\text{OCH}_3$ -4"); 7.12 (2H, д, $J$ = 9.0, H-3", 5"); 7.22 (1H, т, $J$ = 7.6, H-4'); 7.52 (2H, т, $J$ = 7.8, H-3', 5'); 8.08 (2H, д, $J$ = 9.0, H-2", 6"); 8.46 (2H, т, $J$ = 8.4, H-2', 6'); 8.77 (1H, с, H-4); 9.24 (1H, с, H-5)
<b>6f</b>	2.31 (3H, с, $\text{CH}_3$ -4"); 2.36 (3H, с, $\text{CH}_3$ -3"); 2.64 (3H, с, $\text{CH}_3$ -3); 7.26 (1H, т, $J$ = 7.8, H-4'); 7.37 (1H, д, $J$ = 8.4, H-5"); 7.56 (2H, д, $J$ = 7.8, H-3', 5'); 7.89 (1H, д, $J$ = 8.4, H-6"); 7.99 (1H, с, H-2"); 8.43 (2H, д, $J$ = 8.4, H-2', 6'); 8.89 (1H, с, H-4); 9.37 (1H, с, H-5)
<b>7</b>	2.37 (3H, с, $\text{CH}_3$ -4"); 2.67 (3H, с, $\text{CH}_3$ -3); 7.20–7.36 (5H, м, $\text{H}_{\text{Ar}}$ ); 7.54 (2H, т, $J$ = 7.9, H-3', 5'); 8.19 (2H, д, $J$ = 8.1, H-2', 6'); 8.88 (1H, с, H-4); 8.96 (1H, с, 5- $\text{CH}=\text{}$ )

**ЭКСПЕРИМЕНТАЛЬНАЯ ЧАСТЬ**

Контроль за ходом реакций и однородностью синтезированных соединений осуществляется

ствляли хроматографически на пластинах Silufol UV-254, элюент хлороформ–метанол, 20 : 1. ИК спектры регистрировали на приборе UR-20 в таблетках KBr. Спектры ЯМР  $^1\text{H}$  и  $^{13}\text{C}$  в смеси ДМСО- $\text{d}_6$ – $\text{CCl}_4$ , 2 : 1, измеряли на спектрометре Varian-Gemini (300 и 75 МГц соответственно), внутренний стандарт ТМС. Масс-спектры регистрировали на масс-спектрометре MX-1321 с использованием прямого ввода образца в источник ионов, энергия ионизирующих электронов 70 эВ, температура камеры ионизации 150 °С.

**6-Азидо-3-метил-1-фенилипиразоло[3,4-*b*]пиридин-5-карбальдегид (2).** К раствору 9.0 г (33 ммоль) альдегида **1** в 45 мл ДМСО прибавляют 2.58 г (40 ммоль)  $\text{NaN}_3$ , 1.48 г (4 ммоль)  $\text{Bu}_4\text{N}^+\Gamma^-$  и перемешивают при 50 °С в течение 8 ч. Затем реакционную смесь выливают в 100 мл ледяной воды, осадок отфильтровывают, сушат и кристаллизуют. ИК спектр,  $\nu$ ,  $\text{cm}^{-1}$ : 1700 (C=O), 2120 ( $\text{N}_3$ ).

**3-Метил-1-фенил-1Н-пиразоло[3,4-*e*][1,2,3,4]тетразоло[1,5-*a*]пиридин-5-карбальдегид (3).** Суспензию 0.280 г (1 ммоль) азидоальдегида **2** в 15 мл толуола кипятят 6 ч. После охлаждения реакционной смеси осадок отфильтровывают и кристаллизуют. ИК спектр,  $\nu$ ,  $\text{cm}^{-1}$ : 1635 (C=C).

**N-(*n*-Толил)-6-азидо-3-метил-1-фенилипиразоло[3,4-*b*]пиридин-5-карбальдимин (5c).** К суспензии 0.56 г (2 ммоль) азидоальдегида **2** в 15 мл этанола прибавляют 0.26 г (2.4 ммоль) *n*-толуидина **4c** и кипятят 4 ч. После охлаждения реакционной смеси осадок отфильтровывают и кристаллизуют.

**Соединение 5f** получают аналогично.

**6-Арил-3-метил-1-фенил-1,6-дигидропиразоло[3,4-*b*:4,3-*e*]пиридины 6a–f.**

К суспензии 2 ммоль азидоальдегида **2** в 30 мл этанола прибавляют 2.4 ммоль ариламина **4a–f** и кипятят 4 ч. Затем этанол упаривают, к остатку прибавляют 25 мл толуола и снова кипятят 6 ч. Реакционную смесь охлаждают, осадок отфильтровывают и кристаллизуют.

**N-(*n*-Толил)-3-метил-1-фенил-6-хлор[3,4-*b*]пиридин-5-карбальдимин (7).** К суспензии 0.54 г (2 ммоль) хлоркарбальдегида **1** в 25 мл этанола прибавляют 0.21 г (2 ммоль) *n*-толуидина и кипятят 4 ч. Осадок отфильтровывают и кристаллизуют.

**Взаимодействие соединения 7 с  $\text{NaN}_3$ .** К раствору 0.37 г (1 ммоль) имина **7** в 20 мл ДМСО прибавляют 0.08 г (1.2 ммоль)  $\text{NaN}_3$ , 0.044 г (0.12 ммоль)  $\text{Bu}_4\text{N}^+\Gamma^-$  и перемешивают при 70–72 °С в течение 20 ч. Реакционную смесь выливают в 40 мл ледяной воды, осадок отфильтровывают, сушат и кристаллизуют. Получают соединение **6c**. Выход 55%.

*Выражаем благодарность старшему научному сотруднику ФХИ им. А. Б. Богатского НАН Украины А. В. Мазепе за регистрацию масс-спектров.*

## СПИСОК ЛИТЕРАТУРЫ

1. K. C. Joshi, K. Dubey, A. Dandia, *Pharmazie*, **36**, 336 (1981).
2. H. Hoehn, T. Denzel, Pat. BRD 2159600; *Chem. Abstr.*, **77**, 114401 (1972).
3. H. Hoehn, E. Schulze, Pat. BRD 2333603; *Chem. Abstr.*, **80**, 108514 (1974).
4. G.-H. W. Milburn, P. Tomasik, A. Danel, Z. He, D. Rasola, PCT Int. Appl. WO 98 28, 296; *Chem. Abstr.*, **129**, 115441 (1998).
5. G.-H. W. Milburn, P. Tomasik, A. Danel, Z. He, PCT Int. Appl. WO 98 49, 219; *Chem. Abstr.*, **129**, 343818 (1998).
6. M. Weißfels, S. Kaubisch, *Z. Chem.*, **22**, 23 (1982).
7. M. A. Михалева, Л. Н. Ильченко, В. П. Мамаев, *XTC*, 823 (1974).
8. L. Hennig, J. Hofmann, M. Alva-Astudillo, G. Mann, *J. Prakt. Chem.*, **332**, 351 (1990).
9. L. Hennig, T. Müller, M. Groshe, *J. Prakt. Chem.*, **332**, 693 (1990).
10. V. K. Ahluwalia, A. Dahiya, V. K. Gard, *Indian J. Chem.*, **36B**, 88 (1997).
11. V. K. Ahluwalia, P. Sharma, B. Goual, *Indian J. Chem.*, **36B**, 1059 (1997).
12. A. Simay, K. Takacs, L. Toth, *Acta Chim. Hung.*, **109**, 175 (1982).
13. P. Molina, A. Argues, M. V. Vinadei, *J. Org. Chem.*, **53**, 4654 (1988).

14. J. Becher, P. L. Jorgensen, K. Plute, N. K. Krake, B. Falt-Hansen, *J. Org. Chem.*, **57**, 2127 (1996).
15. V. K. Ahluwalia, B. Goual, *Synth. Commun.*, **26**, 1341 (1991).
16. O. Meth-Cohn, B. Narine, B. Tarnowski, R. Hayaes, A. S. Rhouati, A. Robinson, *J. Chem. Soc., Perkin Trans. I*, 2509 (1981).
17. L. Krbechek, Takimoto, *J. Org. Chem.*, **29**, 1150 (1964).

Институт органической химии  
НАН Украины, Киев 02094  
e -mail: mvovk@i.com.ua

Поступило в редакцию 05.07.2002